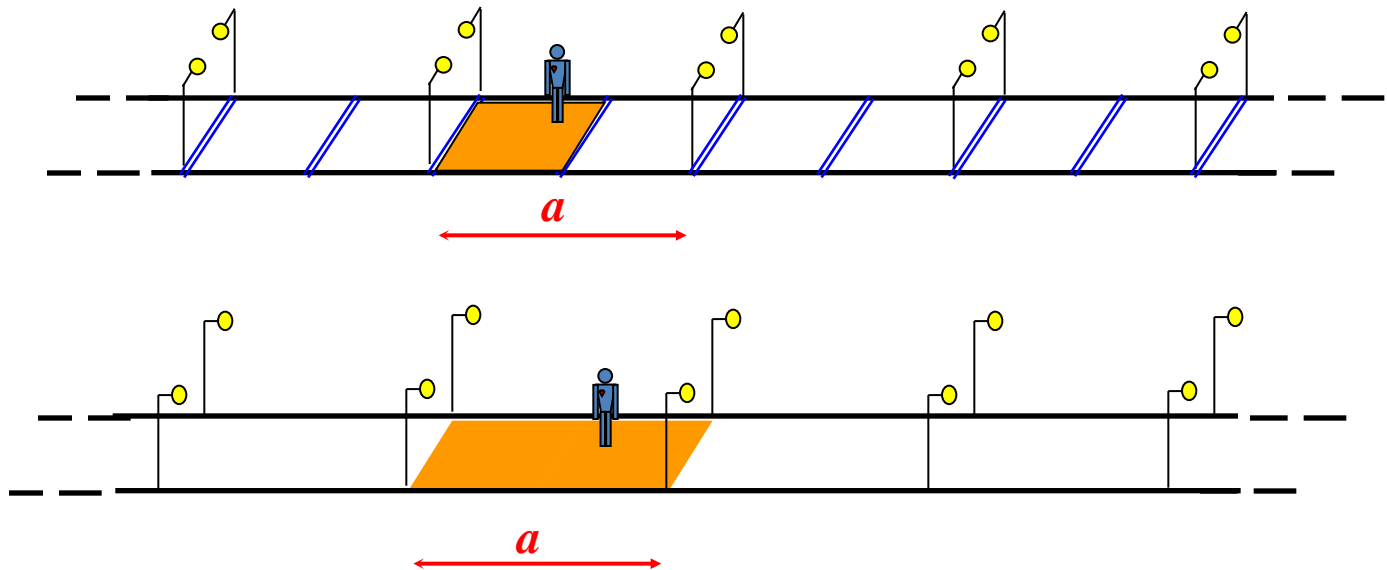


Сингонии, решетки Браве, кристаллографические классы

**Кристалл –
это бесконечная периодическая структура,
т.е. «фигура», составленная из атомов**

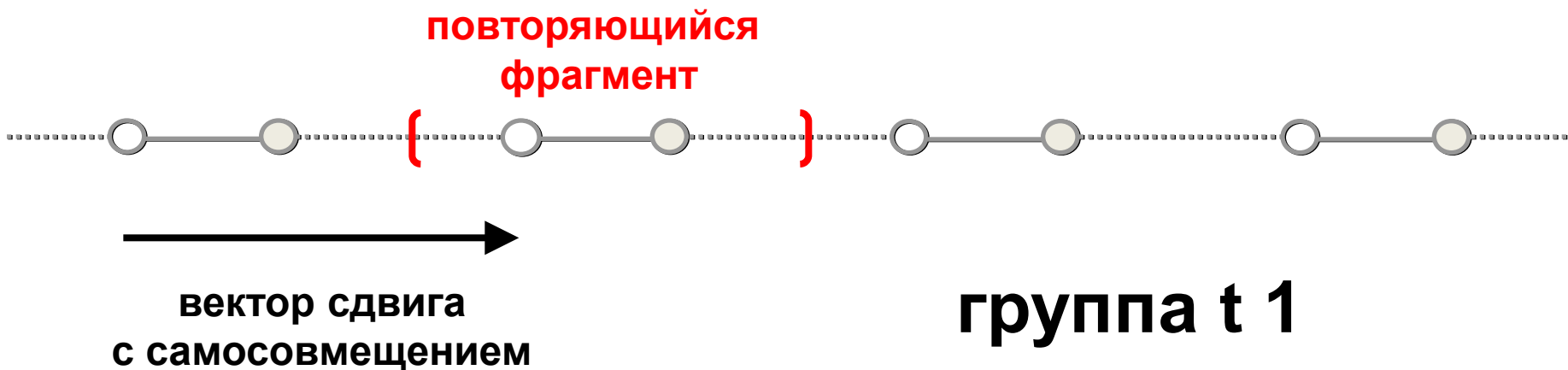
**Как любая геометрическая фигура,
кристалл обладает симметрией**

Трансляционная симметрия



Трансляционная симметрия кристалла

«Одномерный кристалл»: бесконечная цепочка $(NO)_\infty$



Сдвиг бесконечной периодической фигуры, приводящий к ее самосовмещению, называется **операцией трансляции**

трансляция = «параллельный перенос»

**У любого кристалла всегда есть трансляционная симметрия.
Кроме того, кристалл может иметь точечную симметрию**

бесконечная цепочка $(N_2)_\infty$



точечная симметрия: центры инверсии

группа $t \bar{1}$

Симметрию конечных фигур задают

точечные группы $G_{точ}$

Они состоят из ***закрытых*** операций симметрии

Симметрию бесконечных периодических структур

задают ***пространственные группы $G_{пр}$***

В них входят как закрытые, так и ***открытые***

(с параллельным переносом) операции симметрии

$$G_{пр} \supset G_{точ}, T(n),$$

где $T(n)$ – подгруппа трансляций; $n = 1, 2, 3$

Совокупность всех операций симметрии трехмерного кристалла называется его *пространственной группой $G_{пр}$*

Совокупность всех трансляций, входящих в пространственную группу трехмерного кристалла, называется его *подгруппой трансляций T*

Все закрытые операции симметрии трехмерного кристалла образуют его точечную группу: *кристаллографический класс $G_{крист}$*

Пространственная группа $G_{пр.}$ – совокупность всех операций симметрии идеального кристалла

$$G_{пр} \supset T, G_{точ.},$$

T – подгруппа трансляций,

$G_{точ.}$ – точечная группа симметрии:

$$T = \{ m_j \mathbf{a}_j \}$$

n – размерность решетки

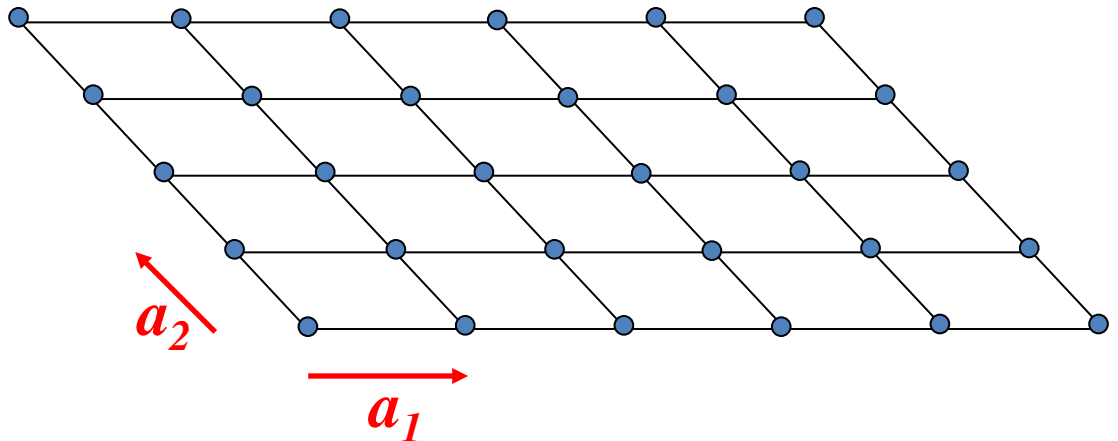
\mathbf{a}_i ($i = 1, 2, \dots, n$) – независимые (базисные) вектора

m – целые числа

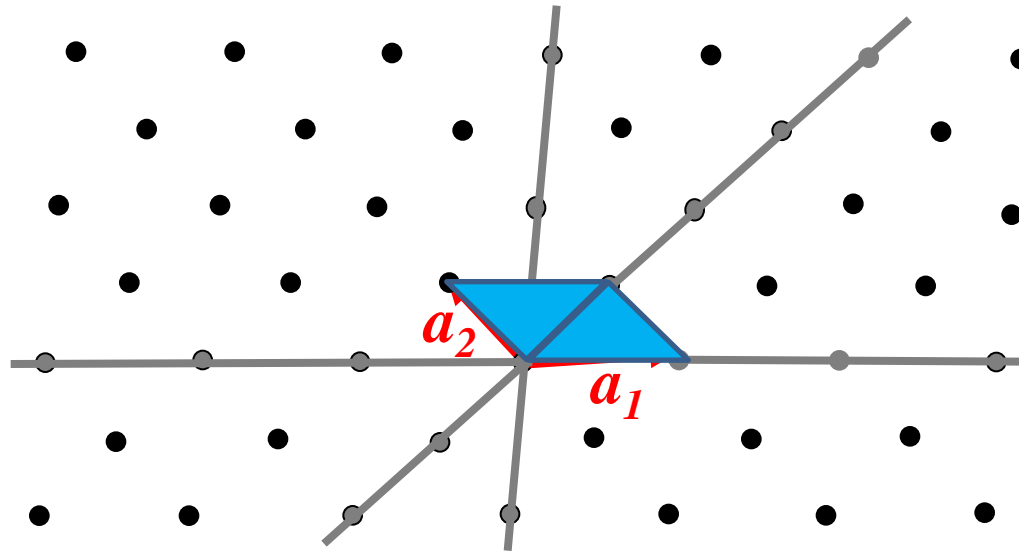
Решетка – бесконечная правильная система точек, связанных операциями группы трансляций (орбита группы трансляций)

$$T = \{ m \mathbf{a}_1, p \mathbf{a}_2 \}$$

$$\mathbf{t}_{mp} = m \mathbf{a}_1 + p \mathbf{a}_2$$

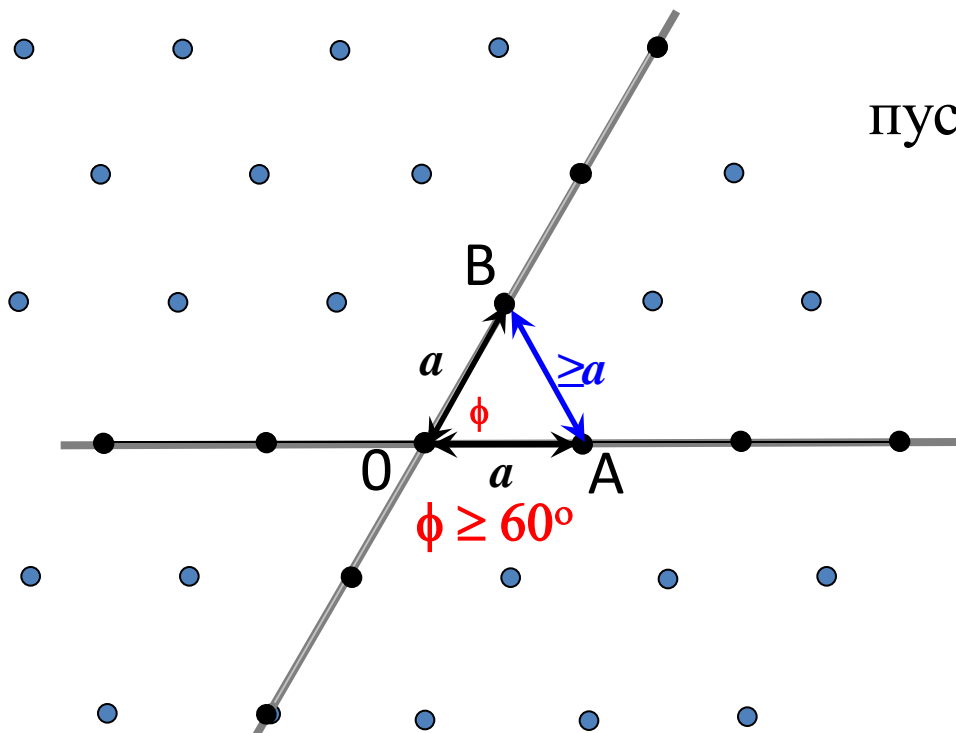


Узловые ряды в 2D-решетке

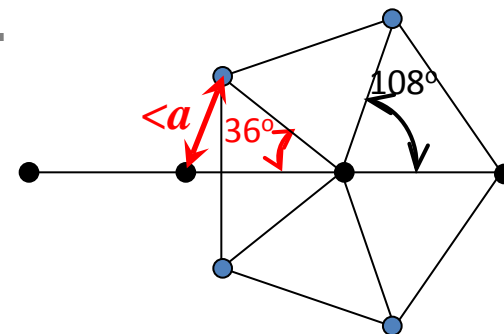


В каждом узле решетки – центр инверсии.
Любая решетка центросимметрична

Закрытые операции симметрии в кристалле



пусть a – наименьшая трансляция

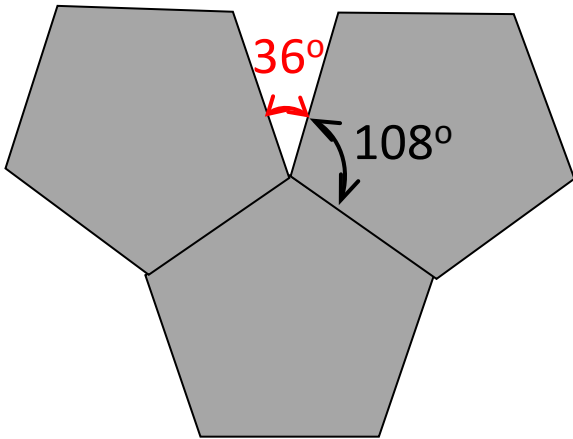
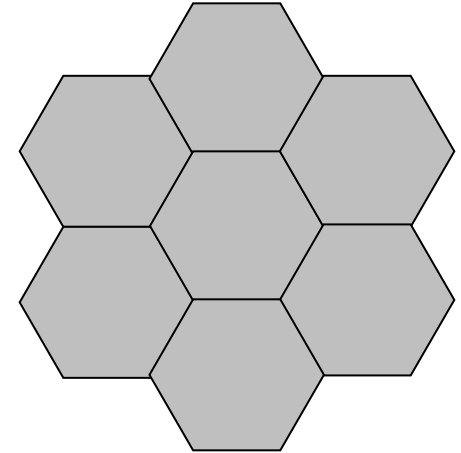
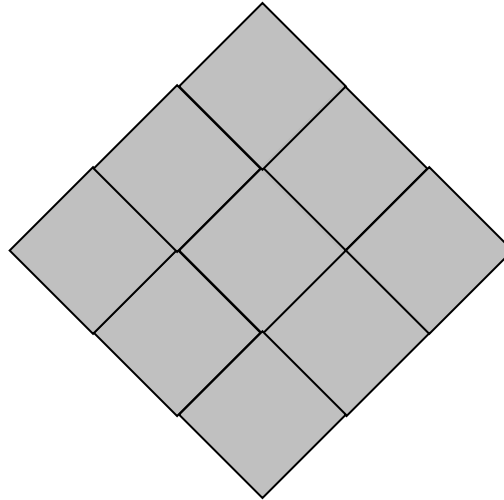
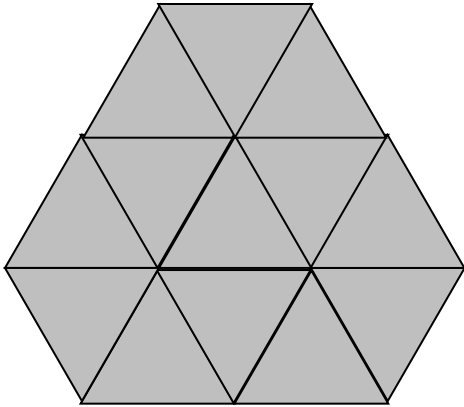


поворотные оси: 2, 3, 4, ~~5~~, 6

3D: инверсионные оси $\bar{1}$, ($\bar{2}=$) m , $\bar{3}$, $\bar{4}$, $\bar{6}$

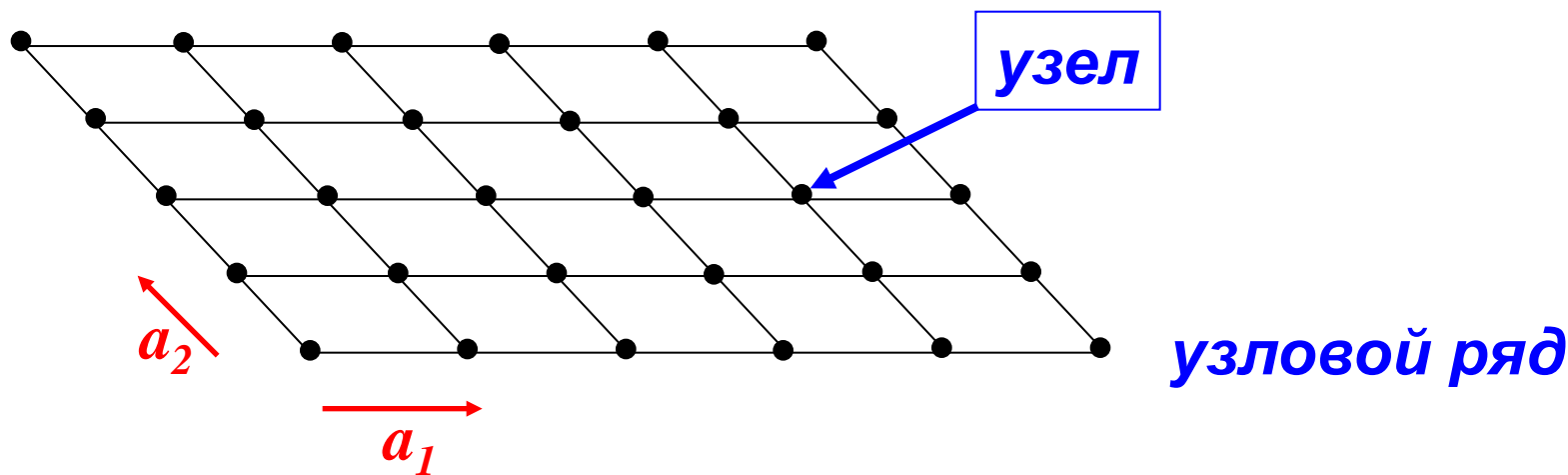
32 кристаллографические точечные группы
(кристаллографические классы)

Почему в кристалле не может быть осей 5-го порядка: заполнение плоскости правильными n-угольниками



Правильными треугольниками, правильными шестиугольниками и квадратами можно плотно (без щелей) заполнить плоскость. Правильными пятиугольниками плотно заполнить плоскость **нельзя** – поэтому в плоских сетках нет осей 5.

Бесконечная правильная система точек, связанных трансляциями, называется **решеткой**



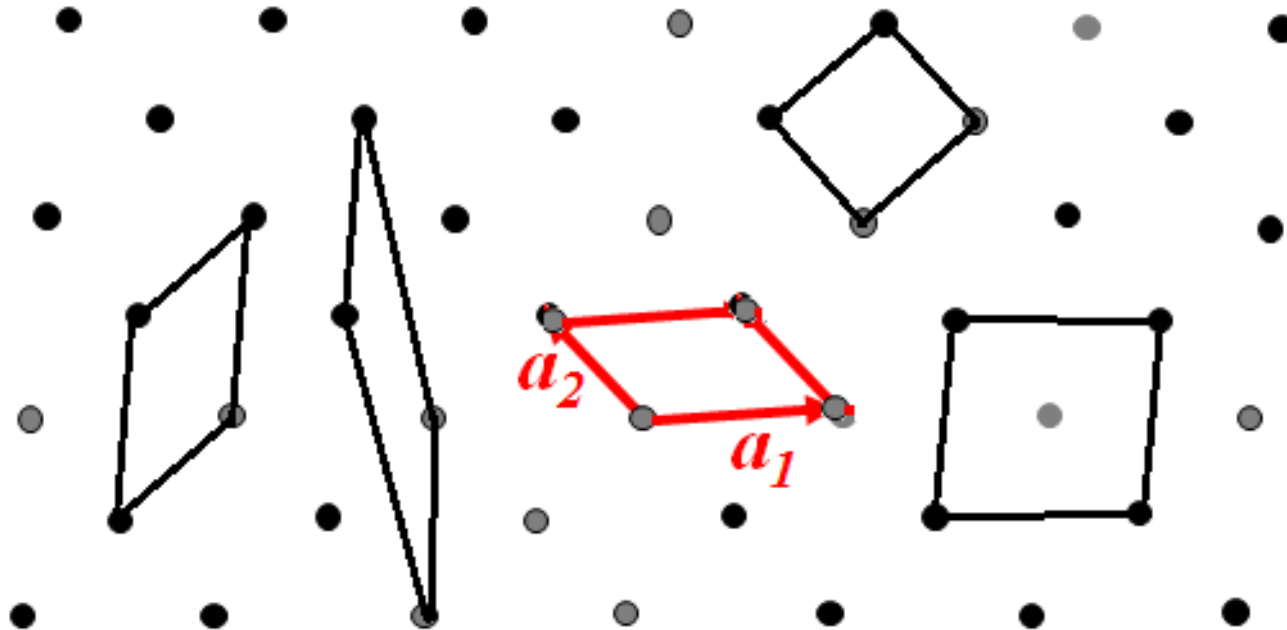
подгруппа трансляций

$T = \{m_i a_i\}$, где m_i – целые числа, a_i ($i = 1, 2, \dots, n$) – независимые векторы трансляций; n = размерность решетки

Точечная группа узла в решетке называется **голоэдрической группой**.

Все кристаллографические точечные группы – это голоэдрические группы и их подгруппы

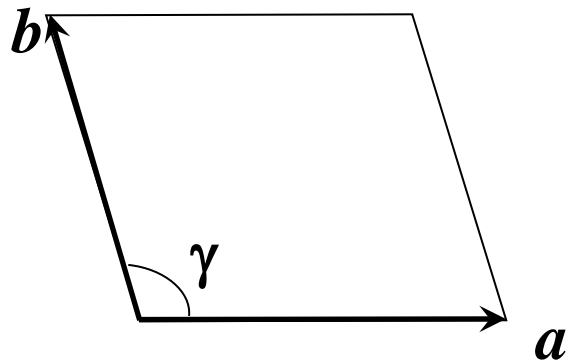
Выбор элементарной ячейки в решетке



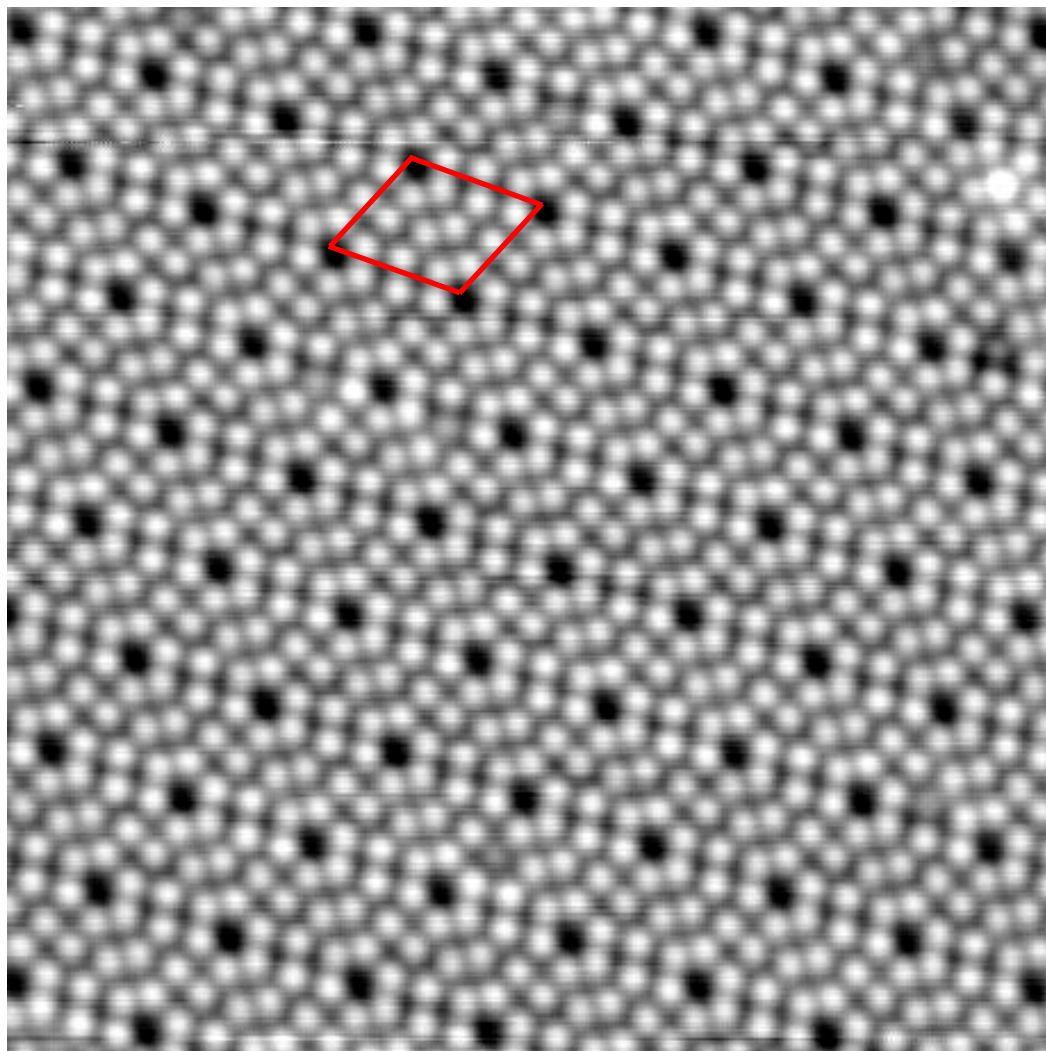
2D решетки: $S = k S_0$

S - площадь параллелограмма повторяемости,
 k - количество узлов, S_0 - площадь примитивного
параллелограмма повторяемости

Элементарная ячейка
двумерного кристалла



Реконструкция поверхности
монокристалла кремния (STM)



2D : 4 сингонии, 5 типов решеток Браве

| сингония | голоэдрич. группа (кристаллографические классы) | подгруппы | центрировка решетки |
|----------------|--|-----------|---------------------|
| косоугольная | 2 | 1 | p |
| прямоугольная | mm2 | m | p, c |
| тетрагональная | 4mm | 4 | p |
| гексагональная | 6mm | 6, 3m, 3 | p |

Голоэдрическая группа – точечная группа симметрии узла решетки

Сингония – совокупность решеток с одинаковой голоэдрической группой

Тип решетки Браве определяется набором трансляций (сингонией и центрировкой)

Все решетки одной голоэдрической группы –

СИНГОНИЯ

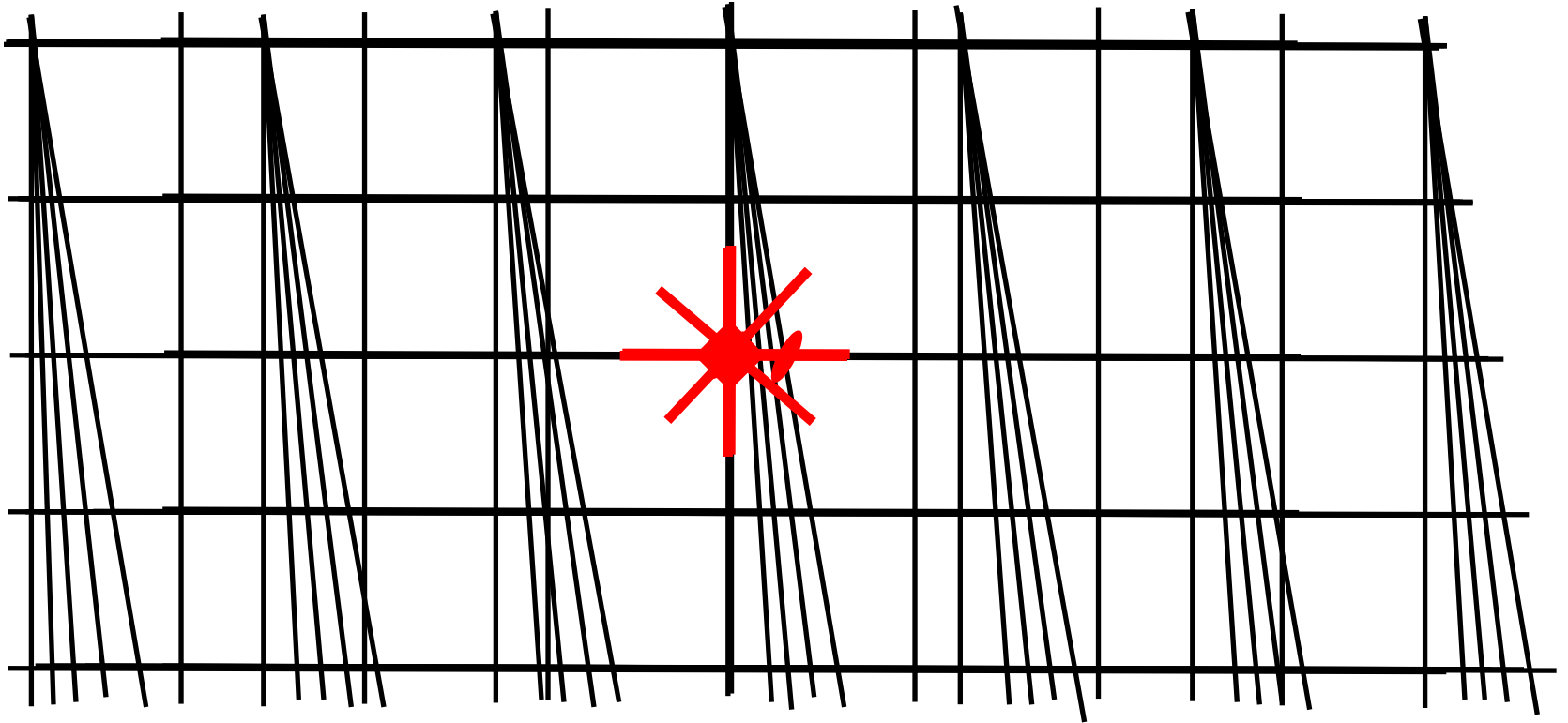
Все решетки одной сингонии,
связанные непрерывными деформациями –

тип Браве

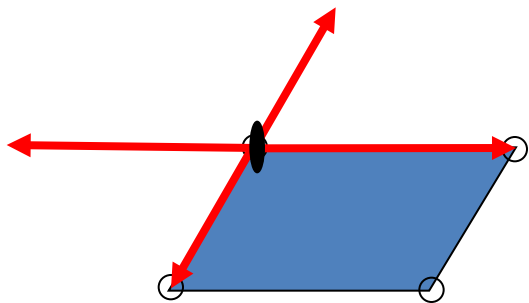
«Безразмерная» решетка данного типа Браве –

решетка Браве

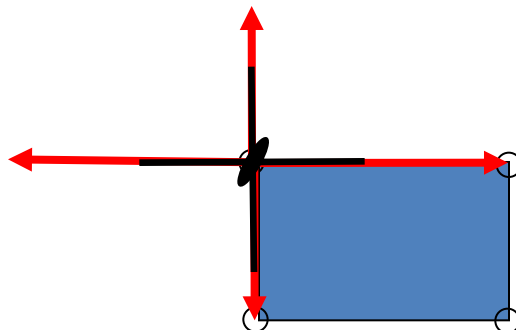
Деформация плоской сетки: новые элементы симметрии



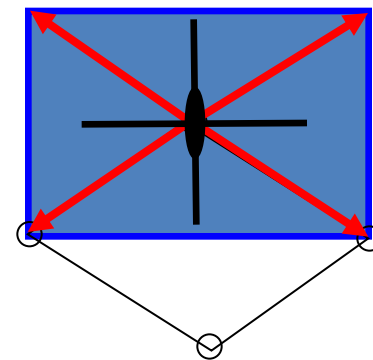
Элементарные ячейки в 2D-решетках



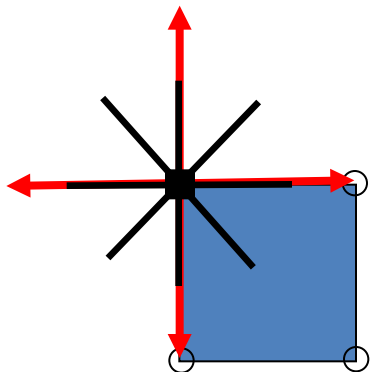
косоугольная $p2$
 a, b, γ – любые



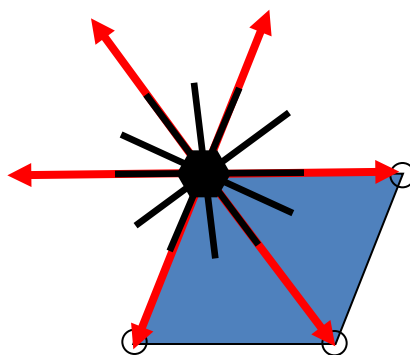
прямоугольная $pm2$
 $a \neq b$ – любые, $\gamma = 90^\circ$



$a' = a - b, b' = a + b, \gamma = 90^\circ$
прямоугольная $cm2$
 $a = b, \gamma$ – любой



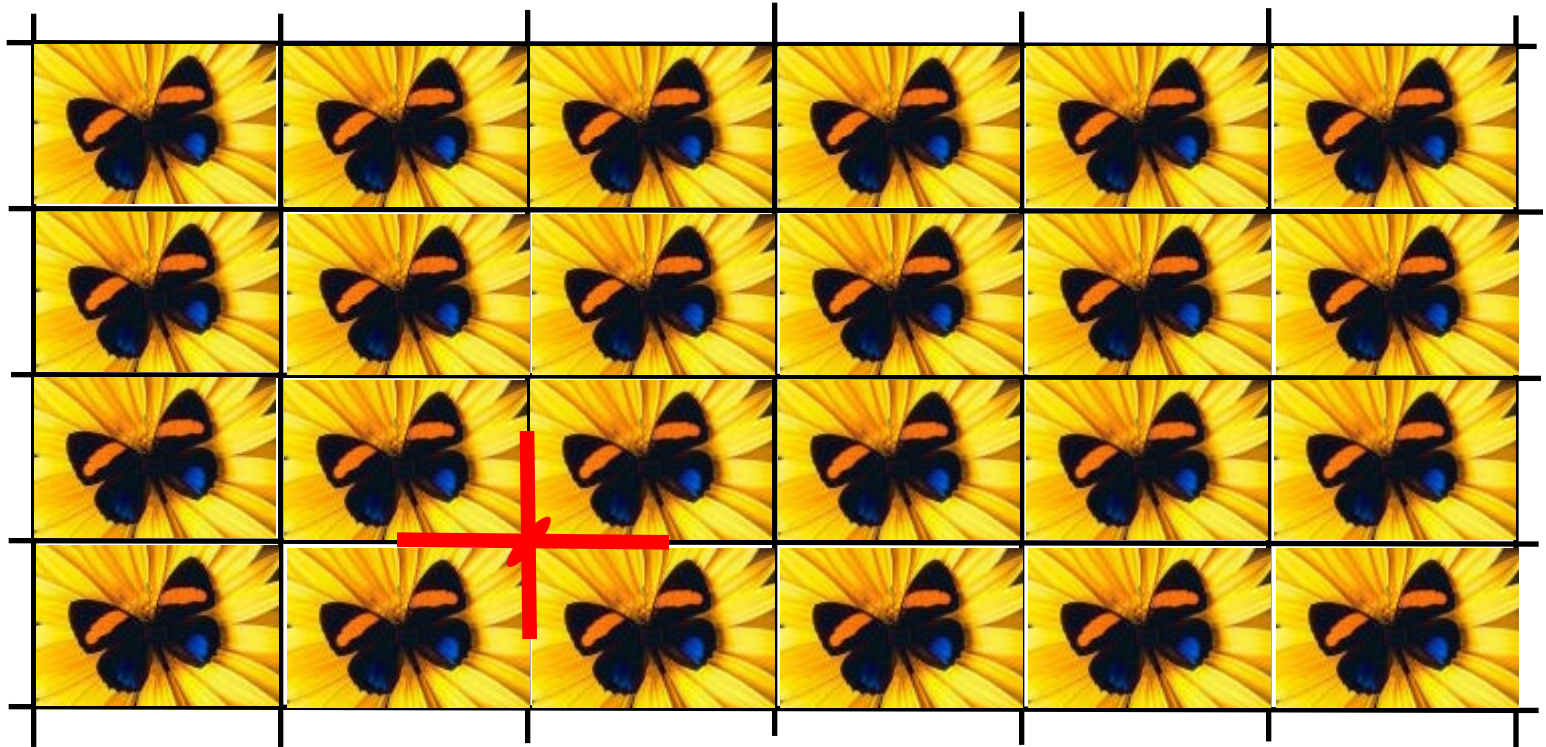
тетрагональная $p4mm$
 $a = b, \gamma = 90^\circ$



гексагональная $p6mm$
 $a = b, \gamma = 120^\circ$

**Дополнительные узлы
возможны только
в прямоугольных сетках**

При заселении решетки реальными объектами симметрия узла решетки может понизиться



элементы симметрии узла решетки

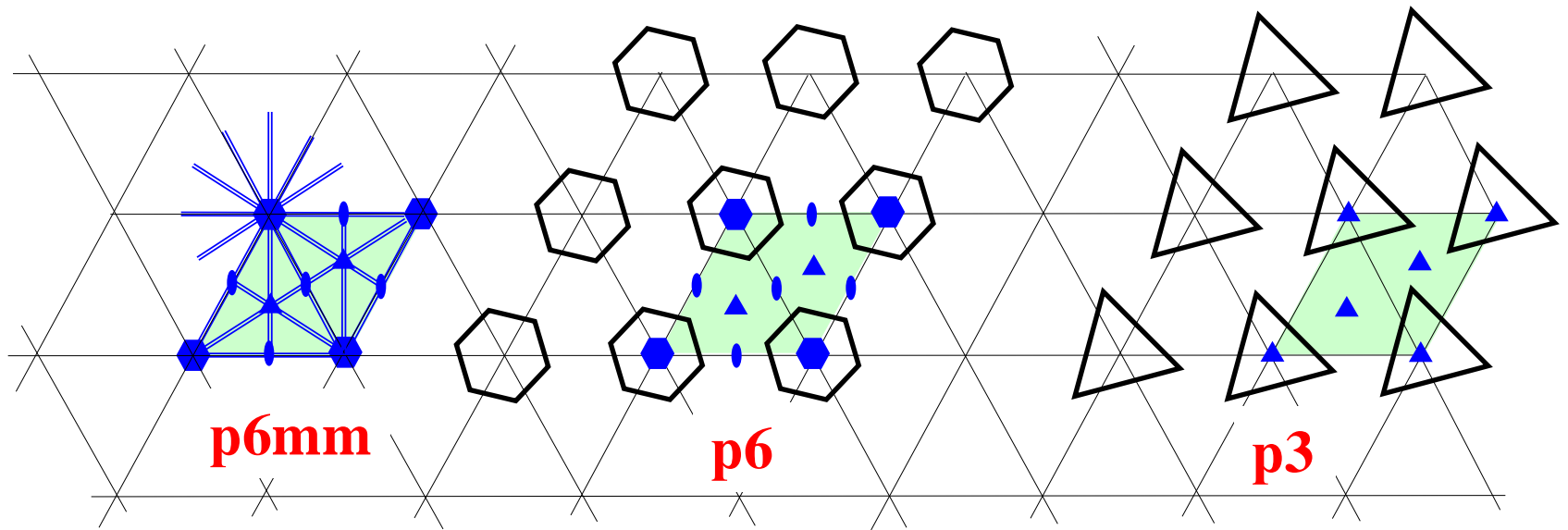
плоская (2D) группа прямоугольной решетки: **$pm\bar{m}2$**

плоская группа модельного «кристалла» **$p1$**

Кристаллографические группы

описывают симметрию узла решетки
в реальной кристаллической структуре

Пример: объекты с осями 3 и 6 порядка
в гексагональной сетке



$$6mm \supset 6, 3m, 3$$

2D : 4 сингонии, 5 решеток Браве

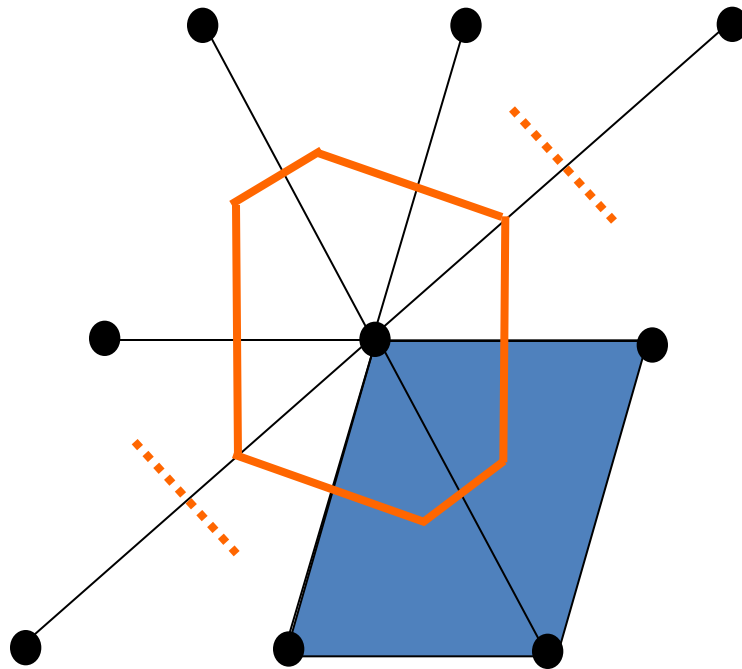
поворотные «оси» (1), 2, 3, 4, 6; «плоскости» m:
10 кристаллографических классов

| сингония | голоэдрич. группа | подгруппы | типы решетки |
|----------------|-------------------|-----------|--------------|
| косоугольная | 2 | 1 | p |
| прямоугольная | mm2 | m | p, c |
| тетрагональная | 4mm | 4 | p |
| гексагональная | 6mm | 6, 3m, 3 | p |

Другой выбор элементарной ячейки

ближайшая окрестность узла решетки:

область Дирихле



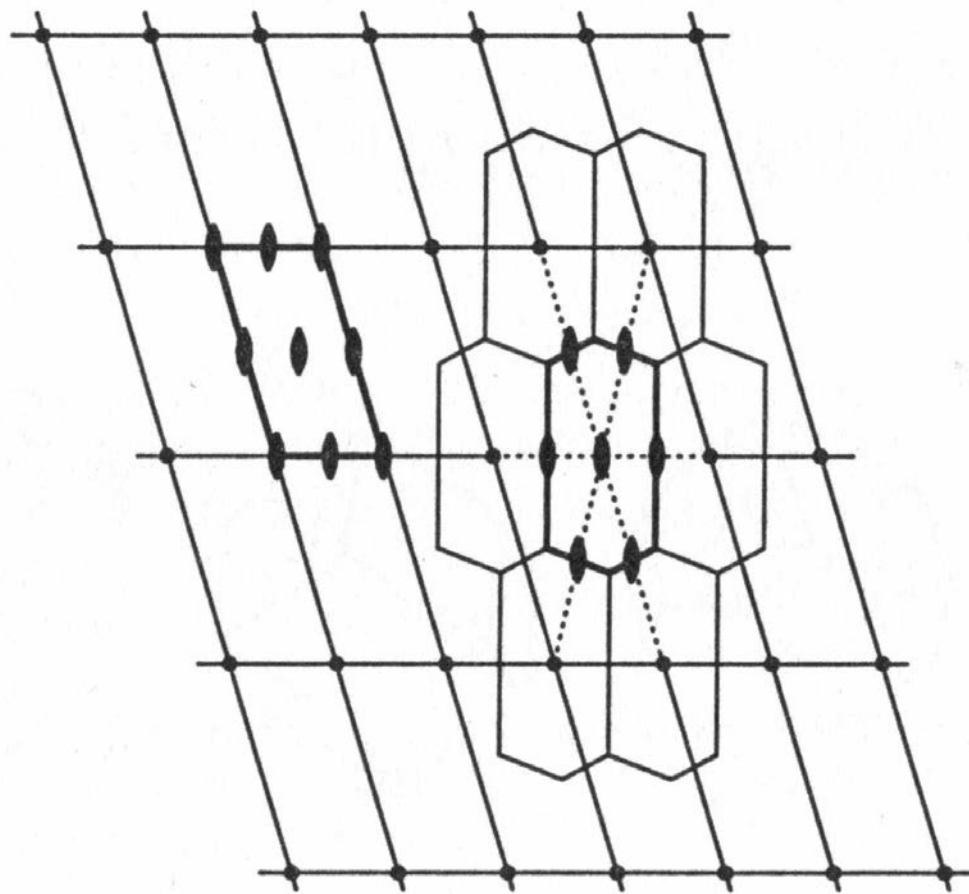


Рис. 2.9. Параллелограмм повторяемости и область Дирихле косоугольной решетки

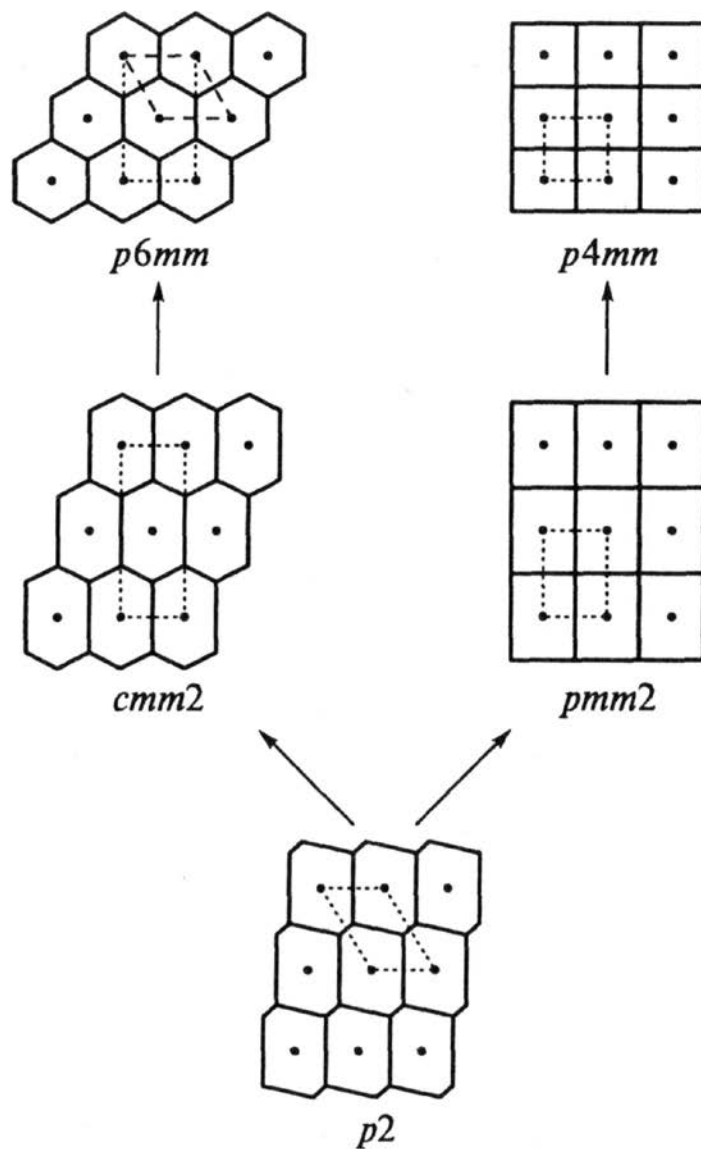
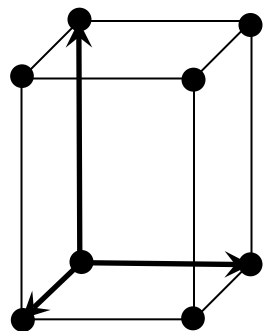


Рис. 2.10. Схема вывода пяти плоских решеток Браве деформациями примитивной косоугольной решетки

Примитивные и непримитивные элементарные ячейки в трехмерных решетках

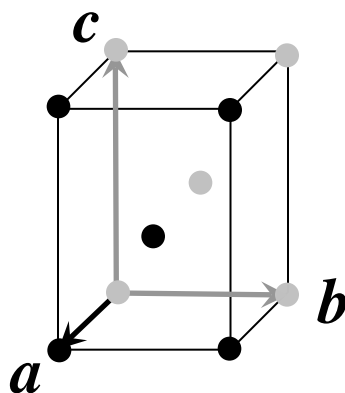
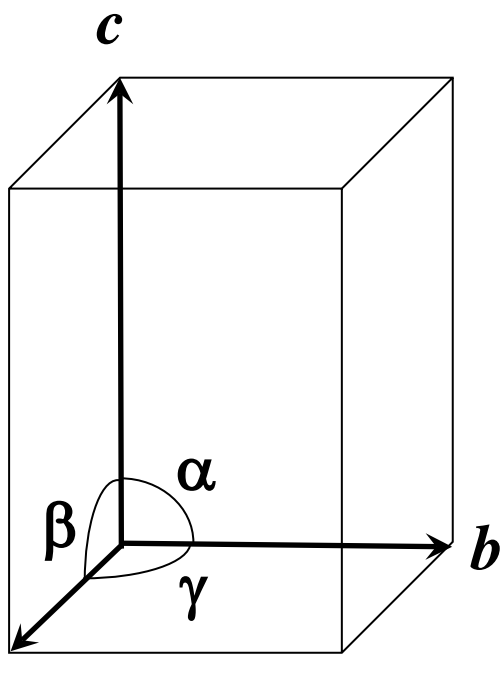


примитивная (P)

$k=1$

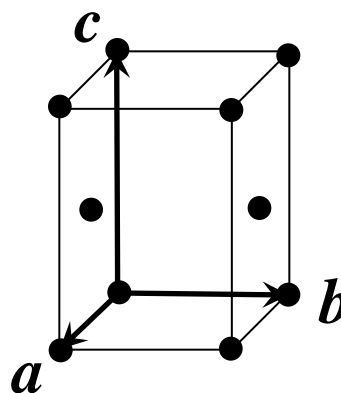
3D решетки: $V = k V_0$

V – объем параллелепипеда повторяемости, k - количество узлов, V_0 - объем примитивного параллелепипеда повторяемости (объем одного узла)



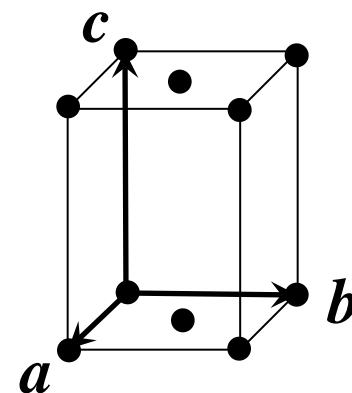
бокоцентрированная

A $k=2$



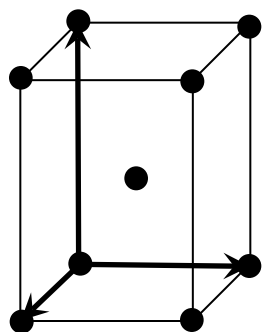
бокоцентрированная

B $k=2$



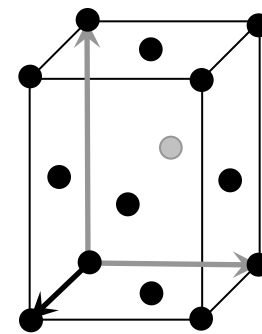
бокоцентрированная (базоцентрированная)

C $k=2$



$k=2$

Объемноцентрированная (I)



гранецентрированная (F) $k=4$

Сингонии и группы

в n-мерных пространствах

(International Tables, 5th Ed, 2002, v. A, p. 720)

| изме- рений | сингоний | решеток Браве | кристаллографических точечных | групп пространственных (из них симморфных) |
|----------------|----------|------------------|----------------------------------|--|
|----------------|----------|------------------|----------------------------------|--|

| | | | | |
|---|----|-----|------|--------------------|
| 2 | 4 | 5 | 10 | 17 (13) |
| 3 | 7 | 14 | 32 | 230 / 219 (73) |
| 4 | 23 | 64 | 227 | 4894 / 4783 (780) |
| 5 | 32 | 189 | 955 | 222018 (6073) |
| 6 | 91 | 841 | 7104 | 28 927 922 (85311) |

Сингонии и решетки Браве в трехмерном случае

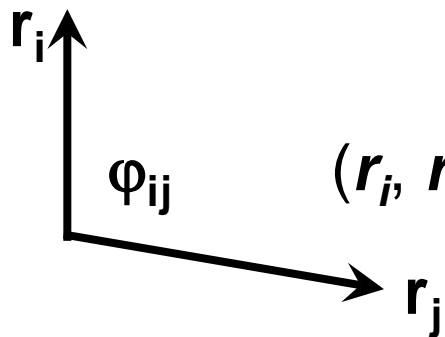
| Сингония | голоэдр. группа | подгруппы | параметры ячейки | решетки Браве |
|-----------------------------|-----------------|---|--|-------------------|
| кристаллографические классы | | | | |
| триклинная | $\bar{1}$ | 1 | a, b, c, α, β, γ – произвольные | P |
| моноклинная | $2/m$ | 2, m | a, b, c – любые, $\alpha = \gamma = 90^\circ; \beta \neq 90^\circ$ | P, C (A) |
| орторомбическая | mmm | mm2, 222 | a, b, c – любые, $\alpha = \beta = \gamma = 90^\circ$ | P, A (B, C), I, F |
| тетрагональная | $4/mmm$ | 4, $\bar{4}$, $4/m$, 4mm, 422, 4_2m | a = b \neq c, $\alpha = \beta = \gamma = 90^\circ$ | P, I |
| тригональная | $\bar{3}m$ | 3, $\bar{3}$, 3m, 32 | a = b = c, $\alpha = \beta = \gamma \neq 90^\circ$ (или «гексагон. R») | P |
| гексагональная | $6/mmm$ | 6, $\bar{6}$, $6/m$, 6mm, 622, $6m2$ | a = b \neq c, $\alpha = \beta = 90^\circ, \gamma = 120^\circ$ | P |
| кубическая | $m\bar{3}m$ | 23, $m\bar{3}$, $\bar{4}3m$, 432 | a = b = c, $\alpha = \beta = \gamma = 90^\circ$ | P, I, F |

Объем элементарной ячейки

$$V = (\det \mathbf{G})^{1/2}$$

$$\mathbf{G} = \begin{pmatrix} (a, a) & (a, b) & (a, c) \\ (b, a) & (b, b) & (b, c) \\ (c, a) & (c, b) & (c, c) \end{pmatrix}$$

матрица Грама
(«метрический тензор»),



$$(r_i, r_j) = (r_j, r_i) = r_i r_j \cos \varphi_{ij}$$

скалярное произведение
векторов

Сингонии и решетки Браве в трехмерном случае

| Сингония | голоэдр. группа | подгруппы | параметры ячейки | решетки Браве |
|-----------------|-----------------------------|------------------------------------|---|-------------------|
| | кристаллографические классы | | | |
| триклинная | $\bar{1}$ | 1 | a, b, c, α, β, γ – произвольные | P |
| моноклинная | 2/m | 2, m | a, b, c – любые, $\alpha = \gamma = 90^\circ; \beta \neq 90^\circ$ | P, C (A) |
| орторомбическая | mmm | mm2, 222 | a, b, c – любые $\alpha = \beta = \gamma = 90^\circ$ | P, A (B, C), I, F |
| тетрагональная | 4/mmm | 4, $\bar{4}$, 4/m, 4mm, 422, 42m | a = b \neq c $\alpha = \beta = \gamma = 90^\circ$ | P, I |
| тригональная | $\bar{3}m$ | 3, $\bar{3}$, 3m, 32 | a = b = c, $\alpha = \beta = \gamma \neq 90^\circ$ («гексагон. R») | P |
| гексагональная | 6/mmm | 6, $\bar{6}$, 6/m, 6mm, 622, 6m2 | a = b \neq c $\alpha = \beta = 90^\circ, \gamma = 120^\circ$ | P |
| кубическая | m $\bar{3}$ m | 23, m $\bar{3}$, $\bar{4}3m, 432$ | a = b = c $\alpha = \beta = \gamma = 90^\circ$ | P, I, F |

3D: 7 сингоний, 14 решеток Браве 32 кристаллографических класса

поворотные оси (1), 2, 3, 4, 6

инверсионные оси $\bar{1}$, ($\bar{2}=$)m, $\bar{3}$, $\bar{4}$, $\bar{6}$

| | | | | | |
|----|---------------|-----|-------------|-------------|---------------|
| 1 | | | | | $\bar{1}$ |
| 2 | m | | | | 2/m |
| | mm2 | 222 | | | mmm |
| 3 | 3m | 32 | | $\bar{3}$ | $\bar{3}m$ |
| 4 | $\bar{4}$ 4mm | 422 | $\bar{4}2m$ | 4/m | 4/mmm |
| 6 | $\bar{6}$ 6mm | 622 | $\bar{6}m2$ | 6/m | 6/mmm |
| 23 | | 432 | $\bar{4}3m$ | m $\bar{3}$ | m $\bar{3}$ m |

нецентросимметричные

11 классов Лауэ
(центросимметричные)

Многогранники, заполняющие пространство (3D-ячейки): *полиэдры Вороного*

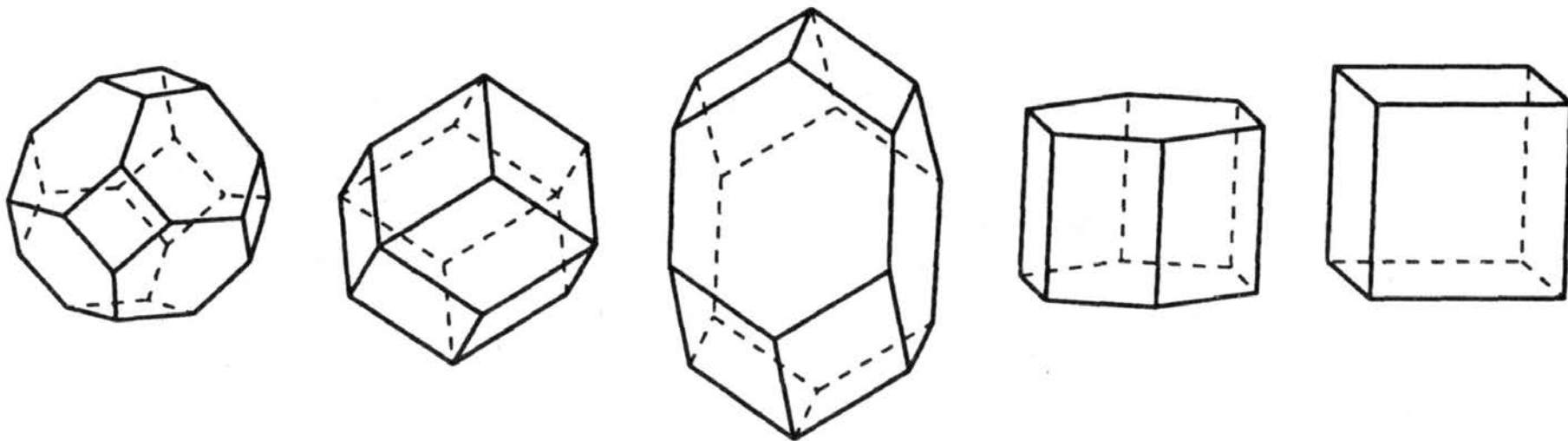


Рис. 2.11. Пять метрически неэквивалентных параллелоэдров Федорова

**с учетом симметрии в 3D-кристаллах –
24 различных полиэдра Вороного**